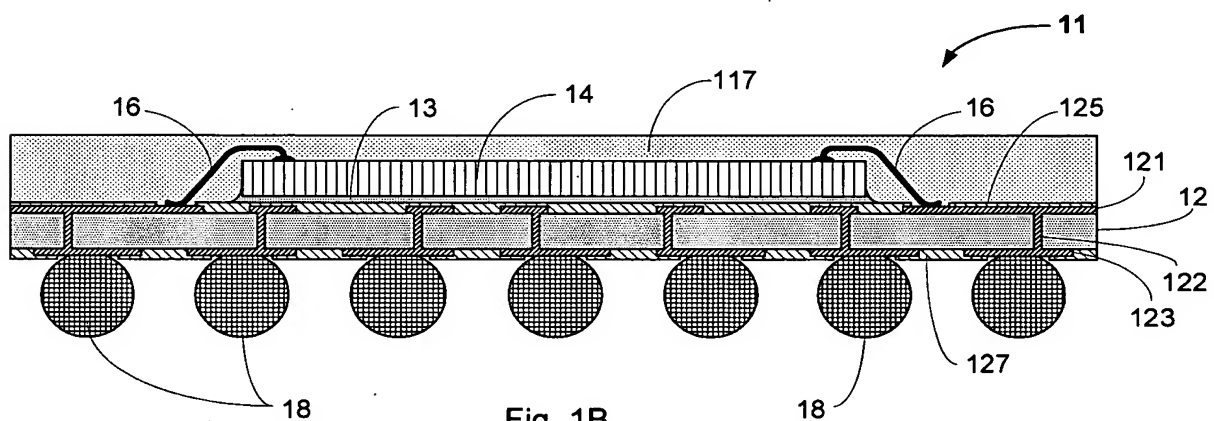
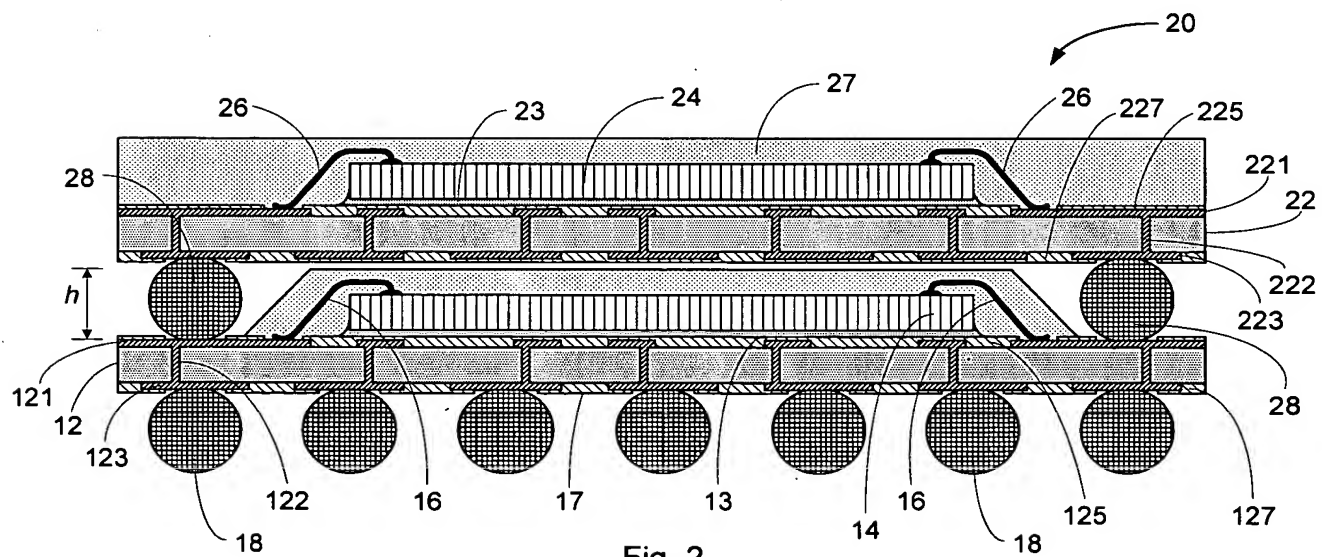
Fig. 1A
PRIOR ARTFig. 1B
PRIOR ARTFig. 2
PRIOR ART

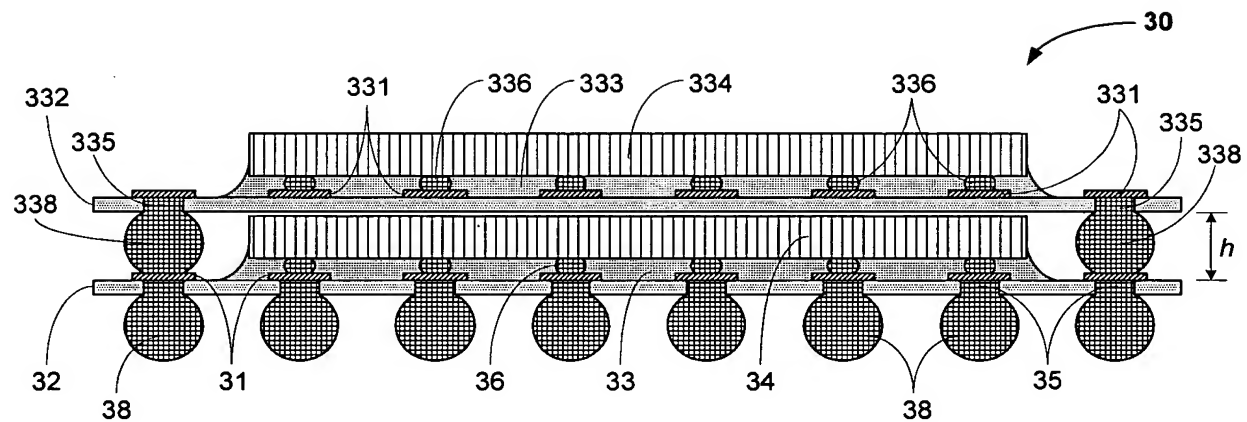


Fig. 3
PRIOR ART

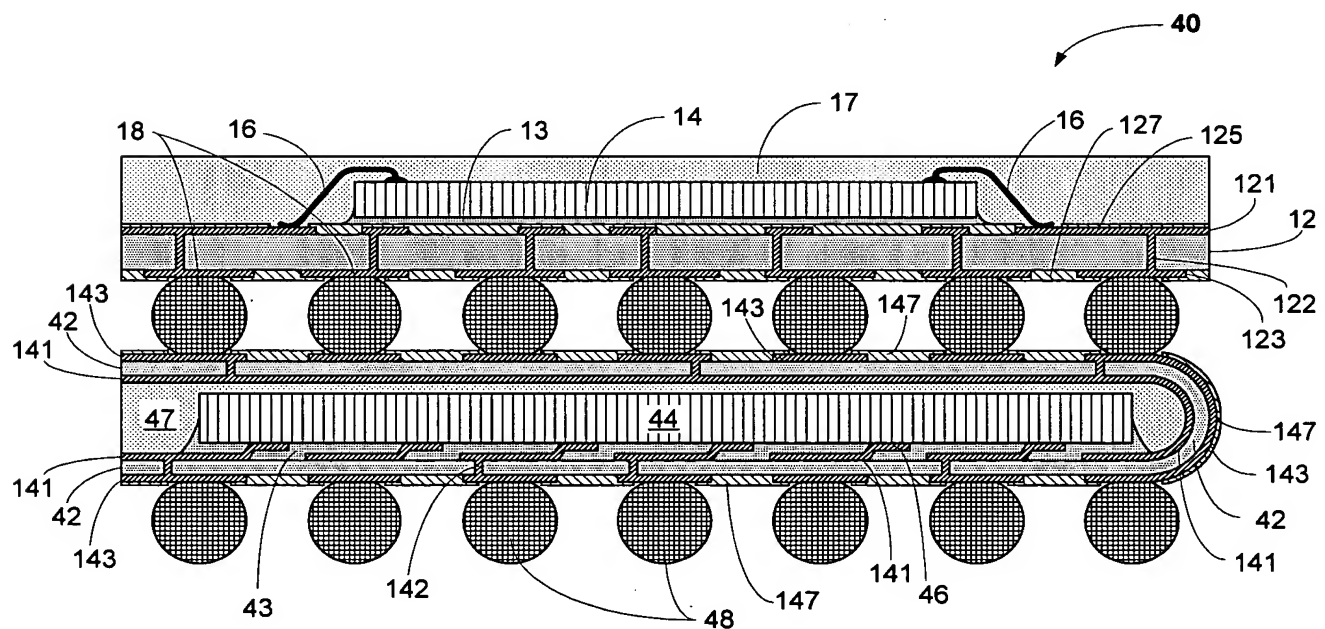


Fig. 4
PRIOR ART

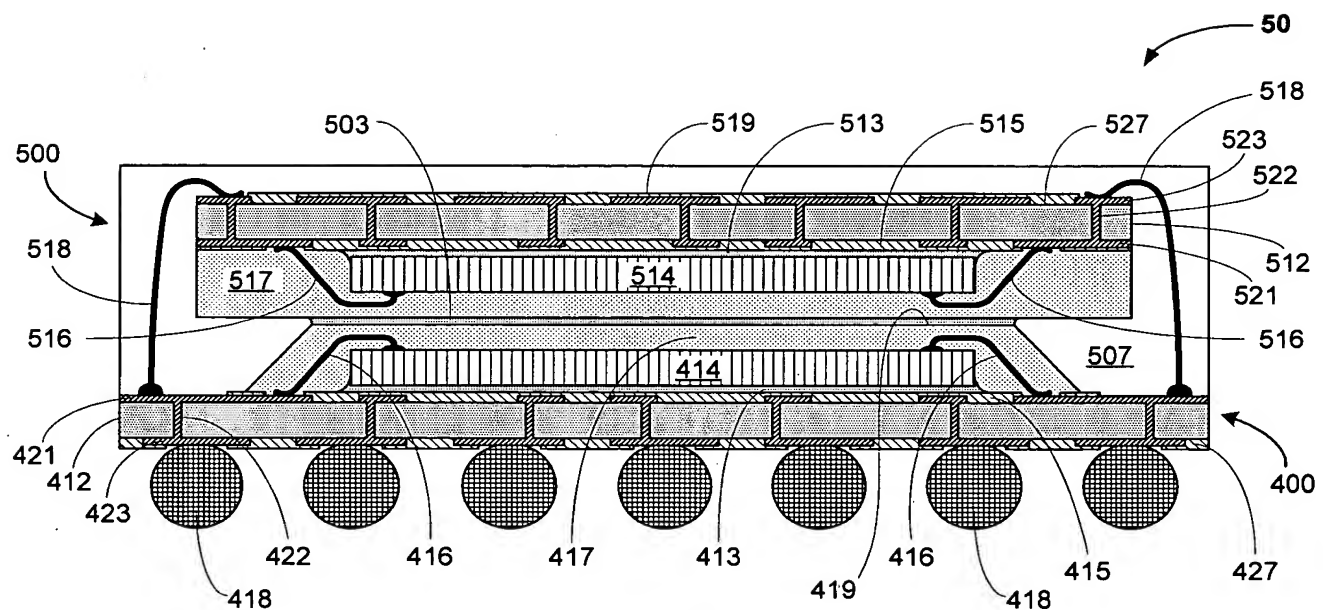


Fig. 5A

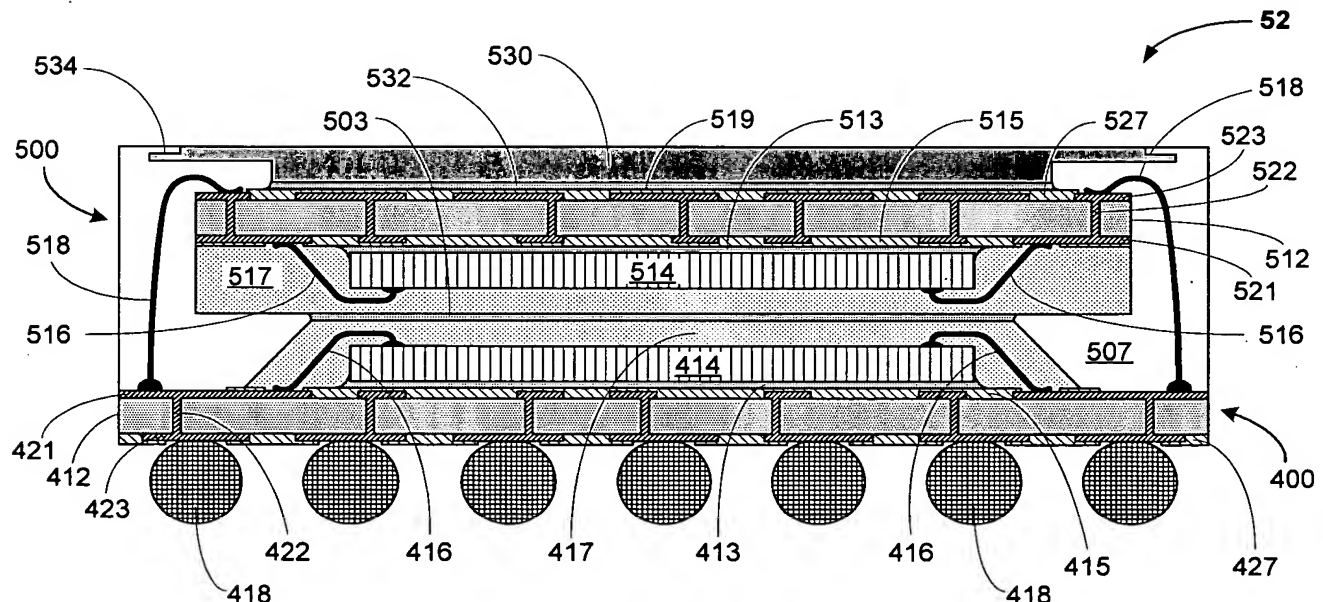


Fig. 5D

4 / 20

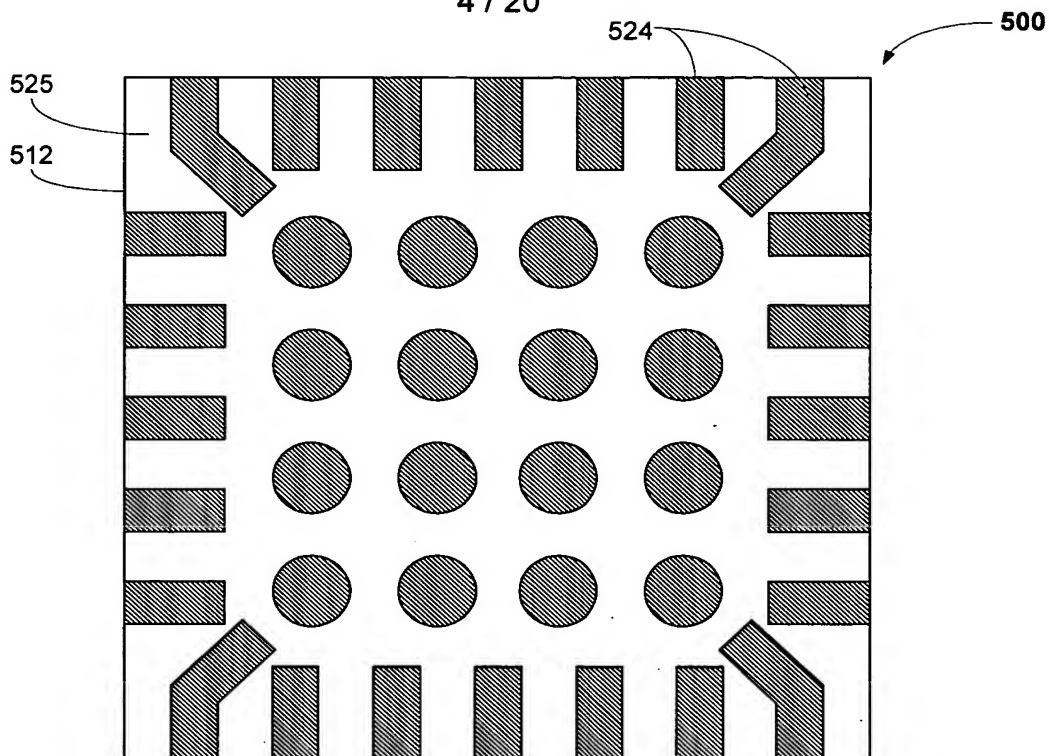


Fig. 5C

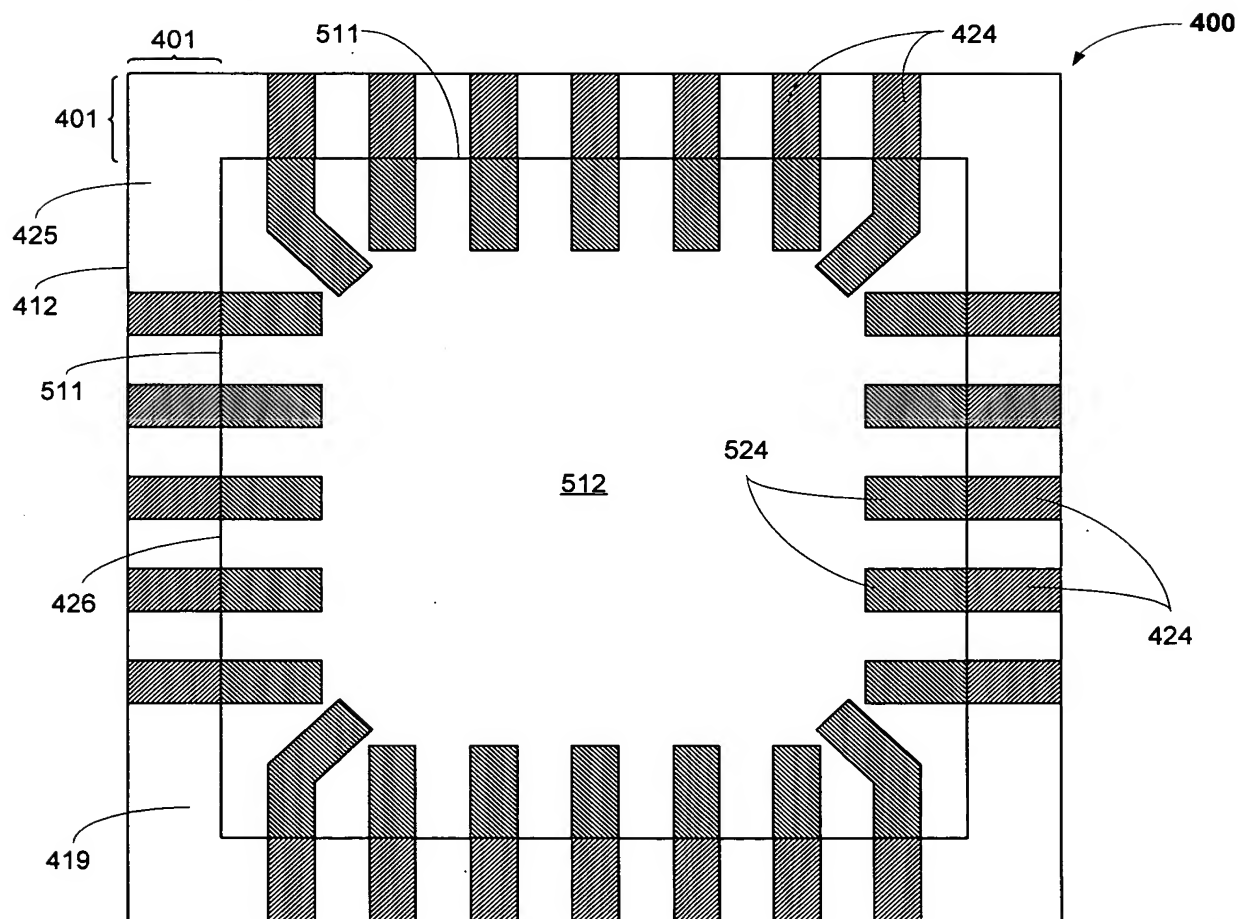


Fig. 5B

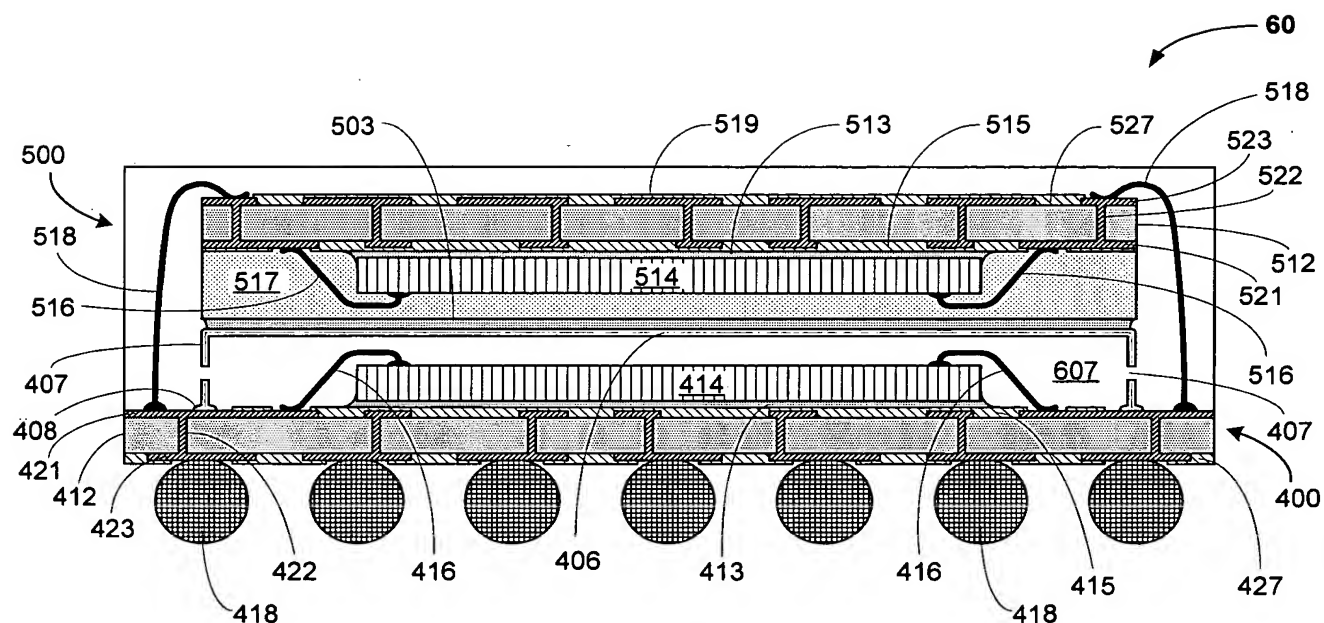


Fig. 6A

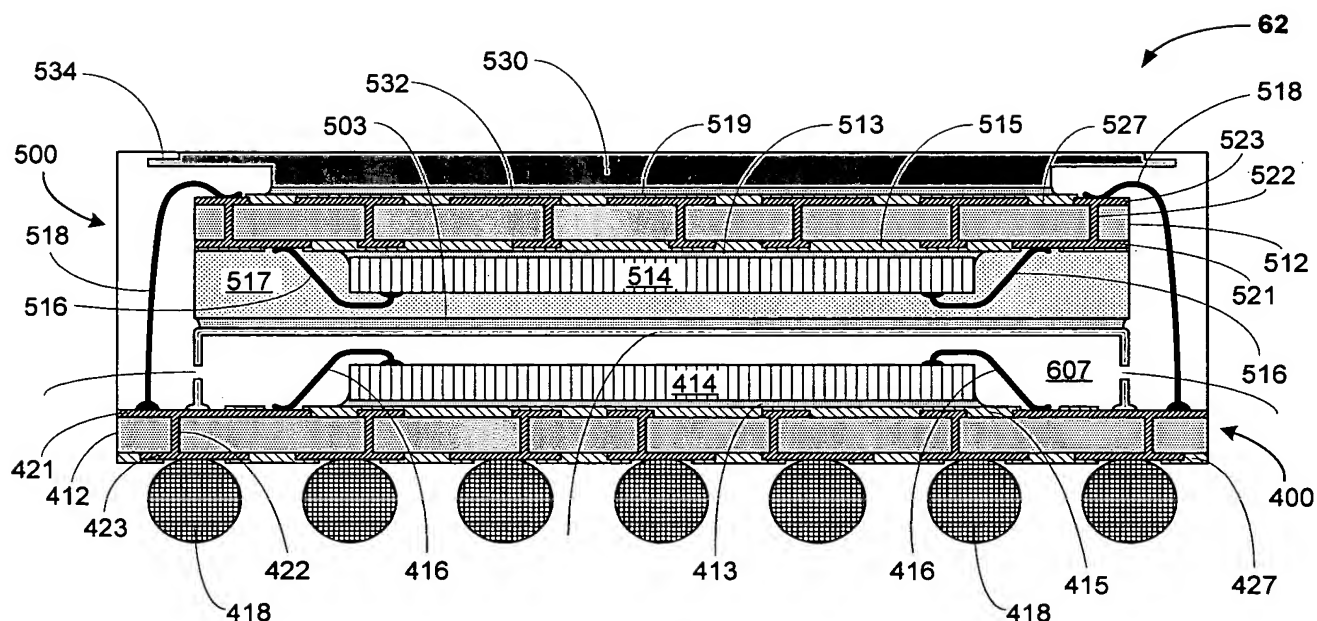


Fig. 6B

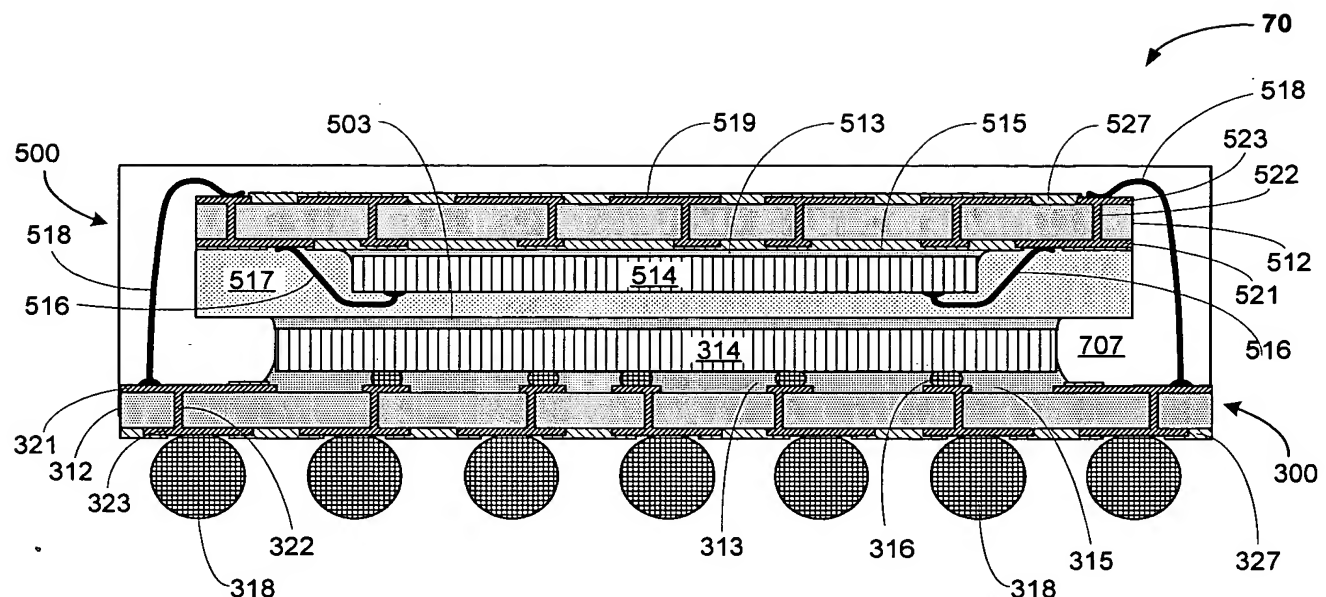


Fig. 7A

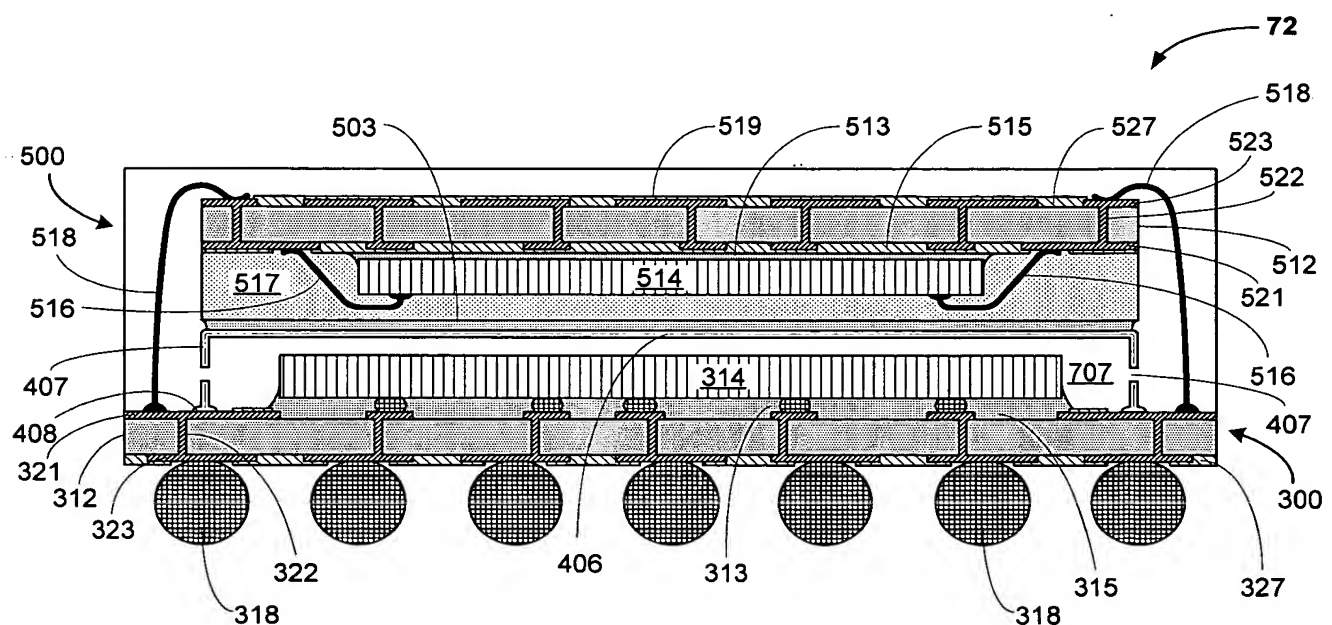


Fig. 7B

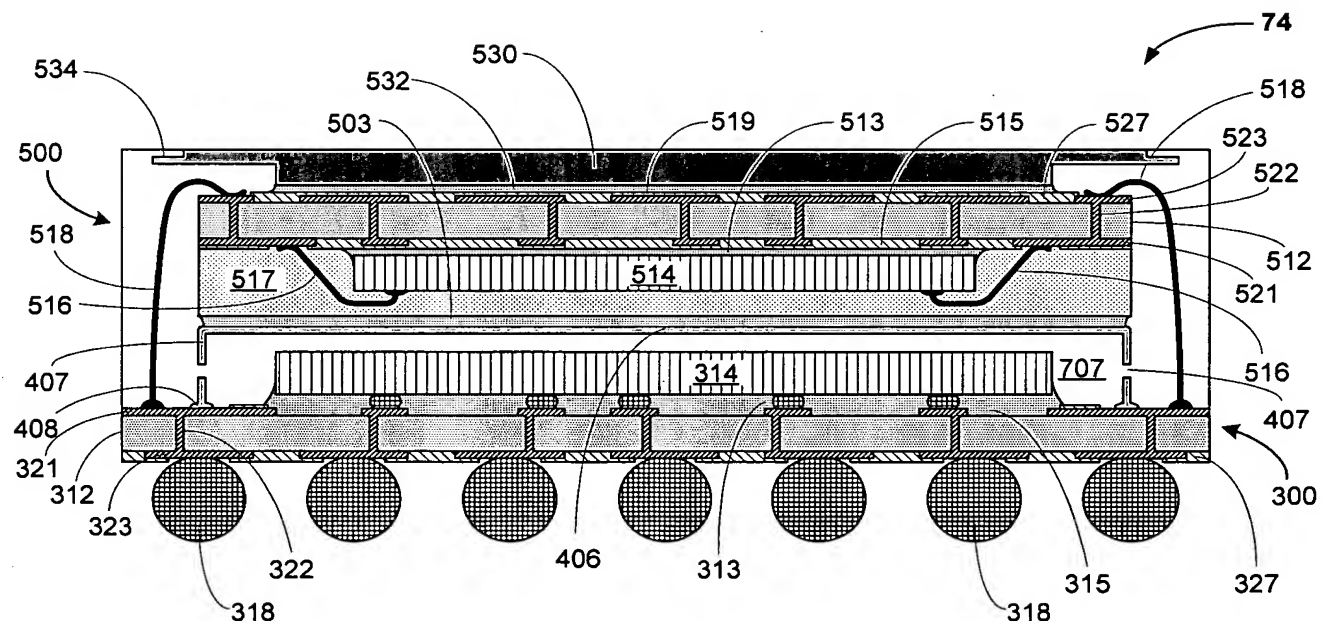


Fig. 7C

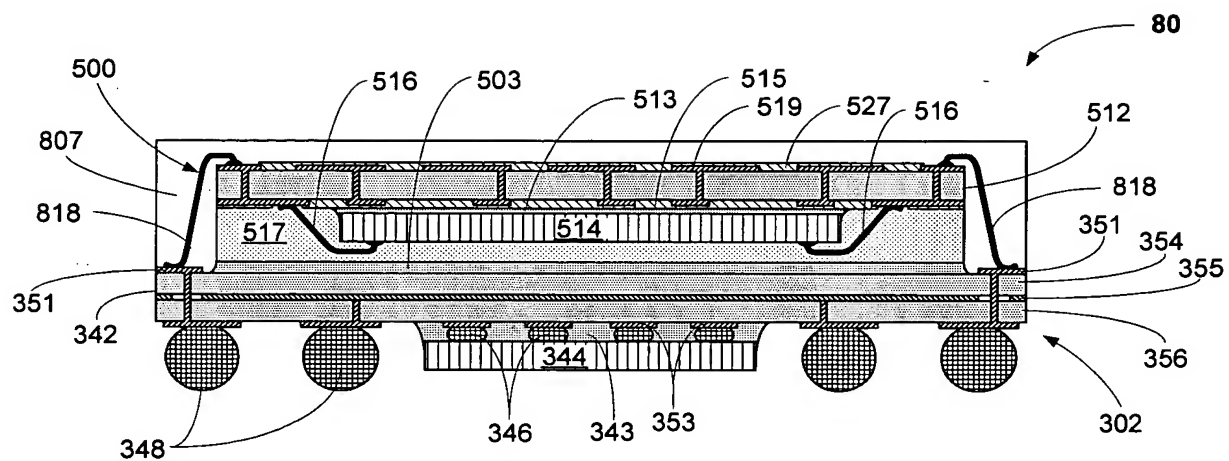


Fig. 8A

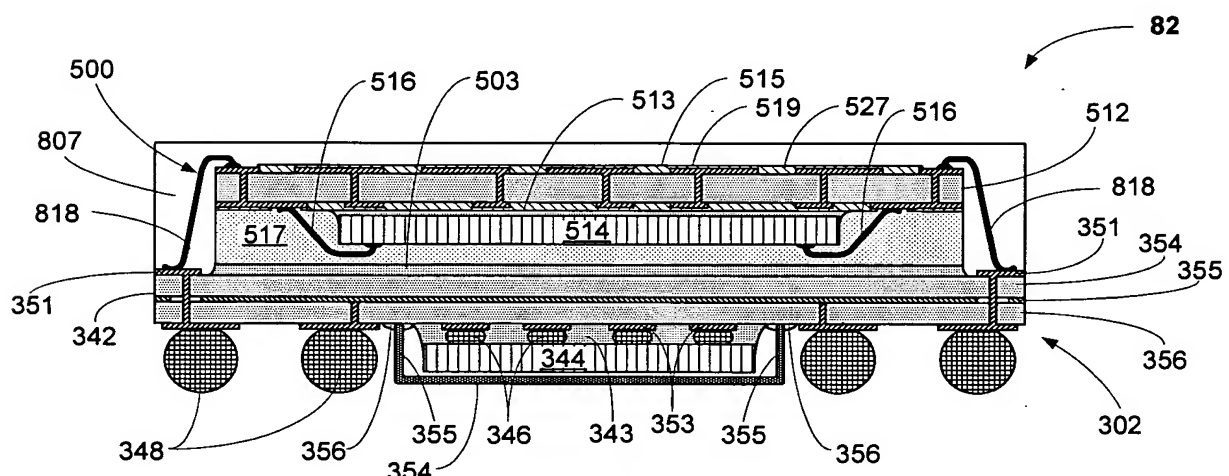


Fig. 8B

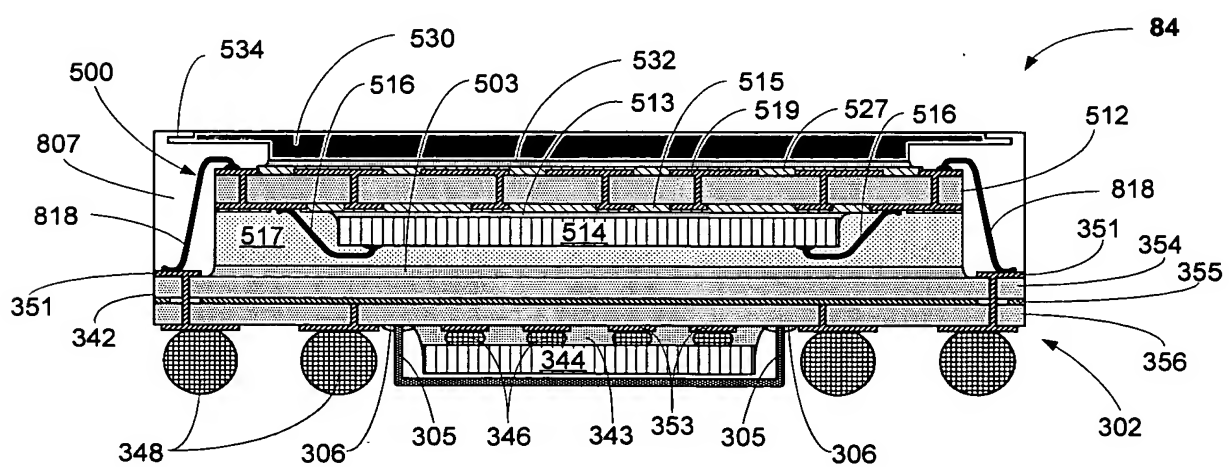


Fig. 8C

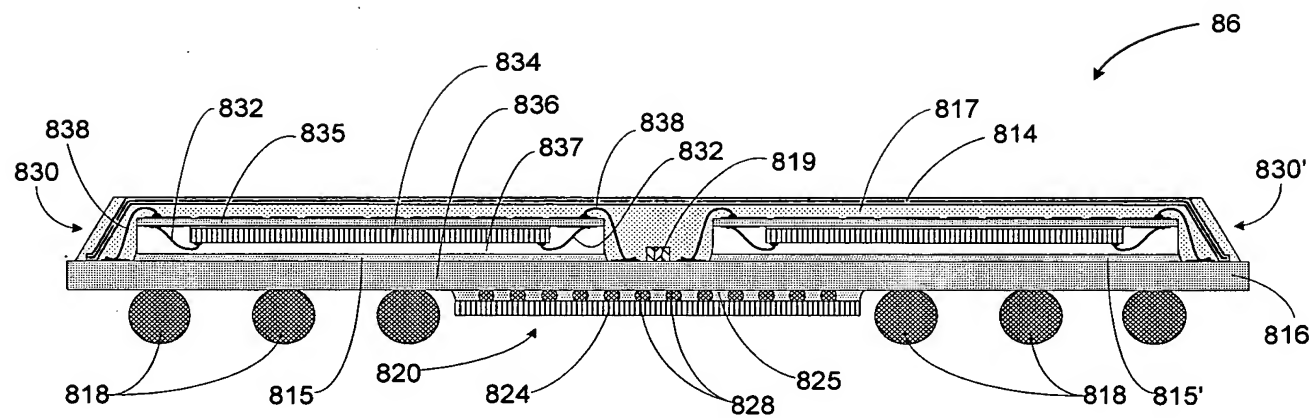


Fig. 8D

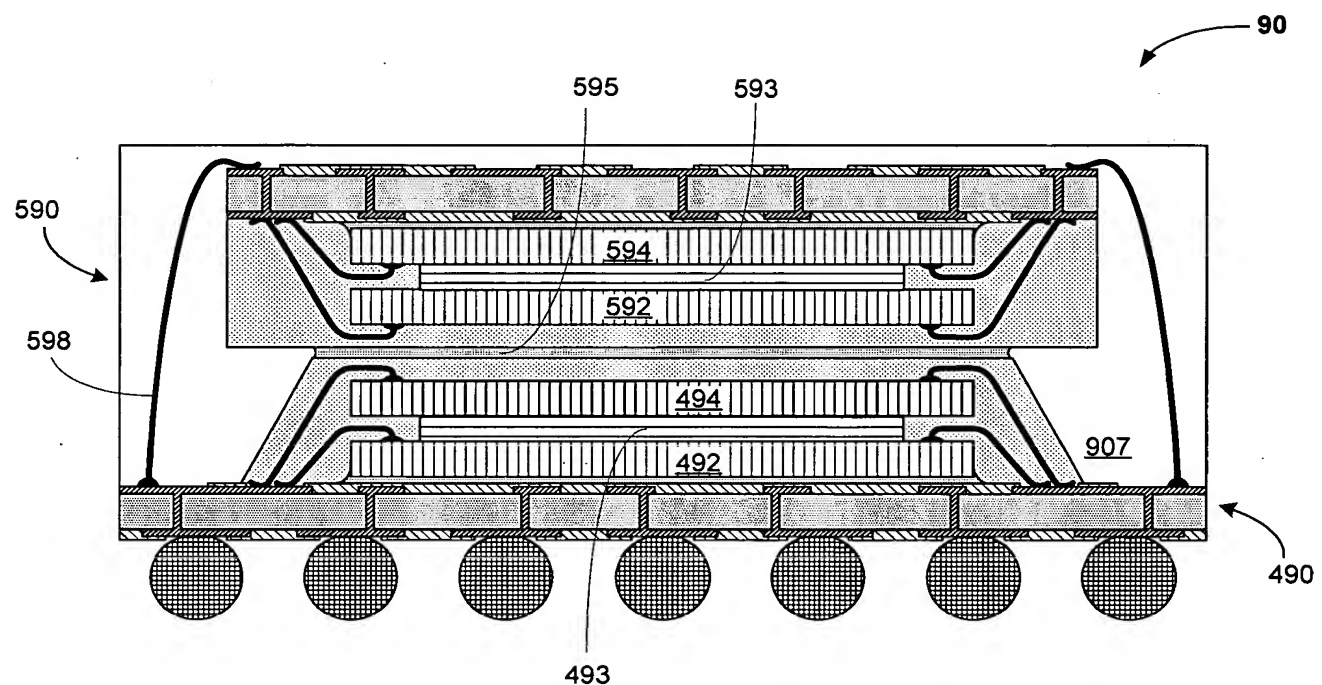


Fig. 9A

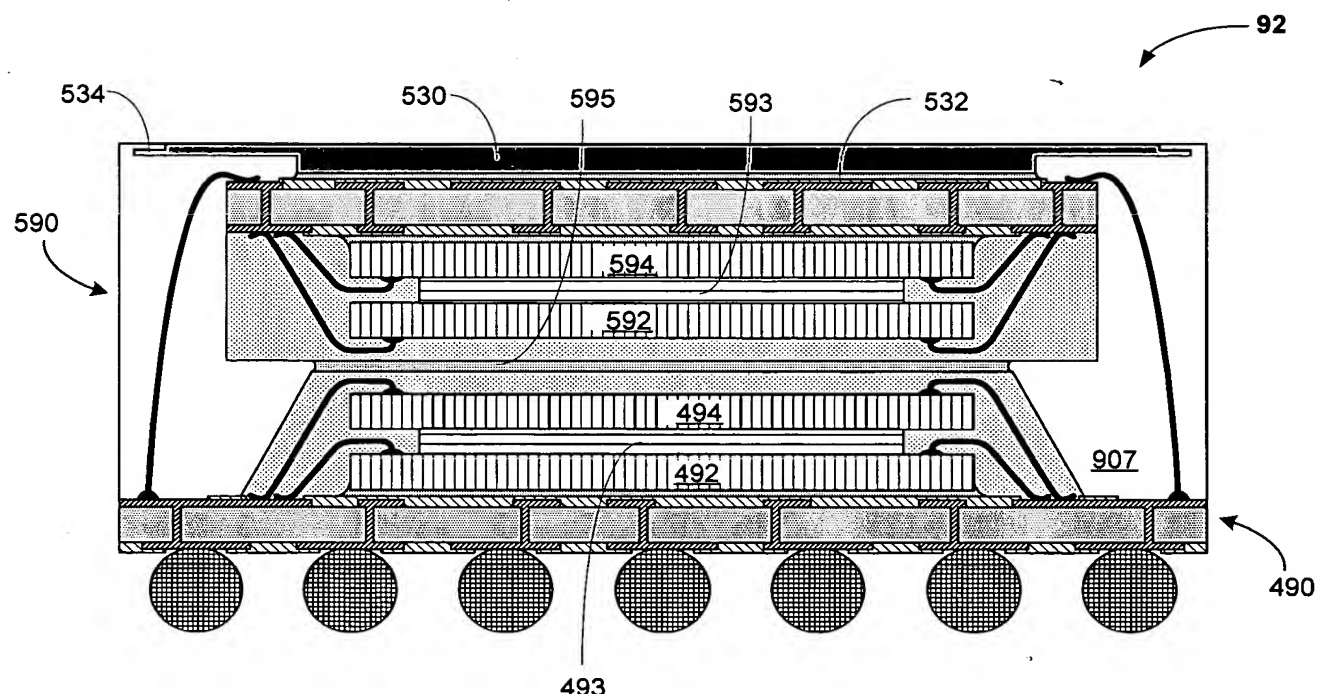


Fig. 9B

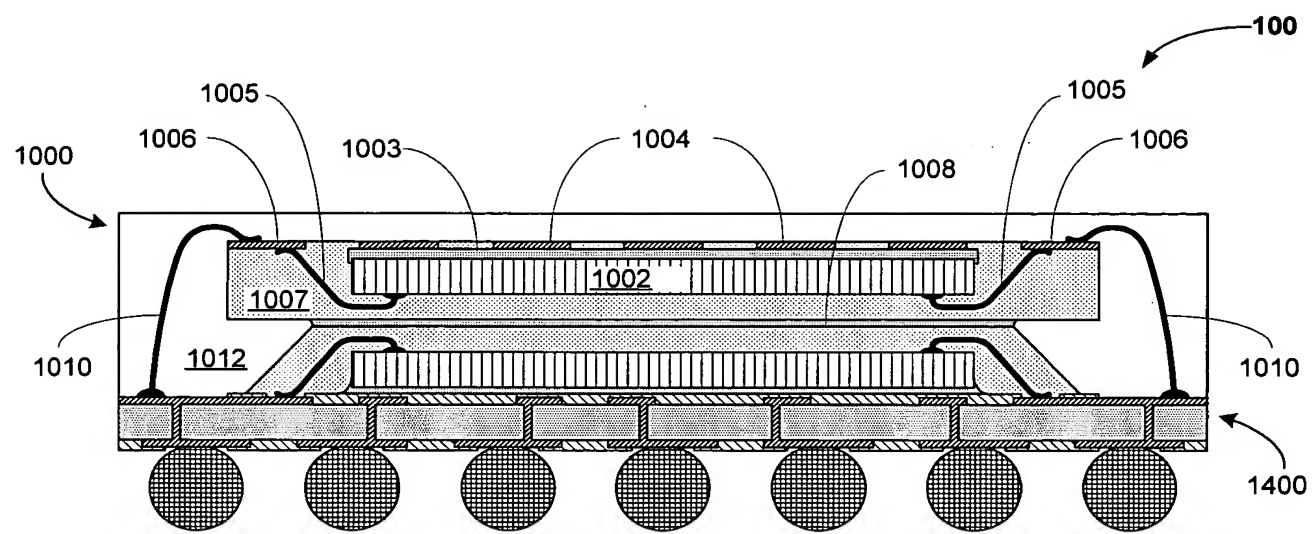


Fig. 10A

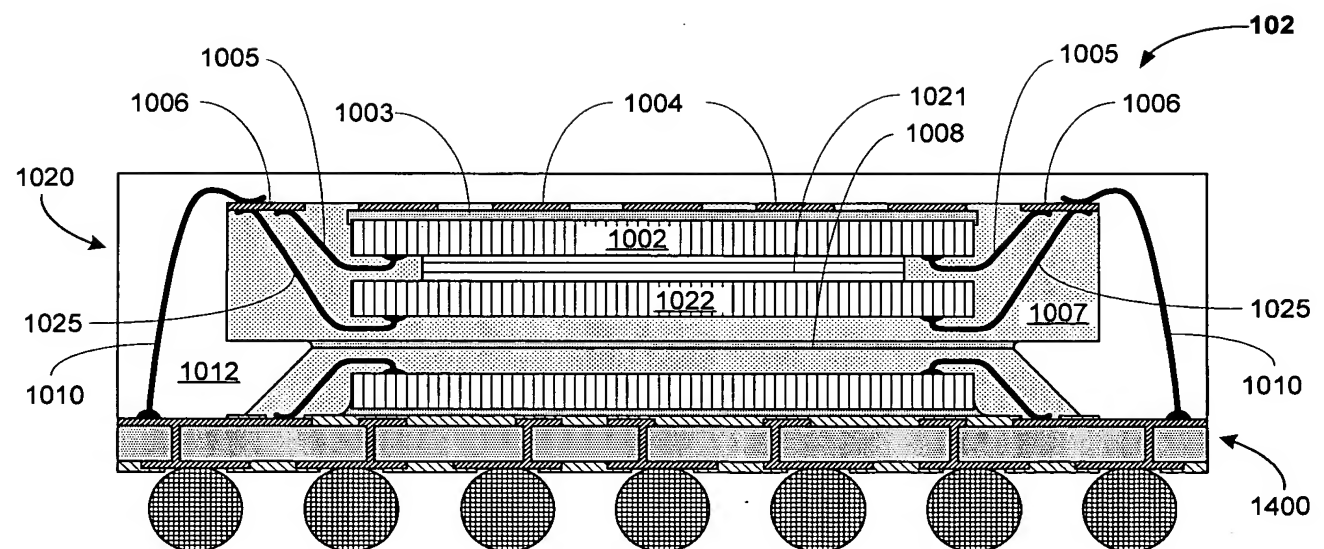


Fig. 10B

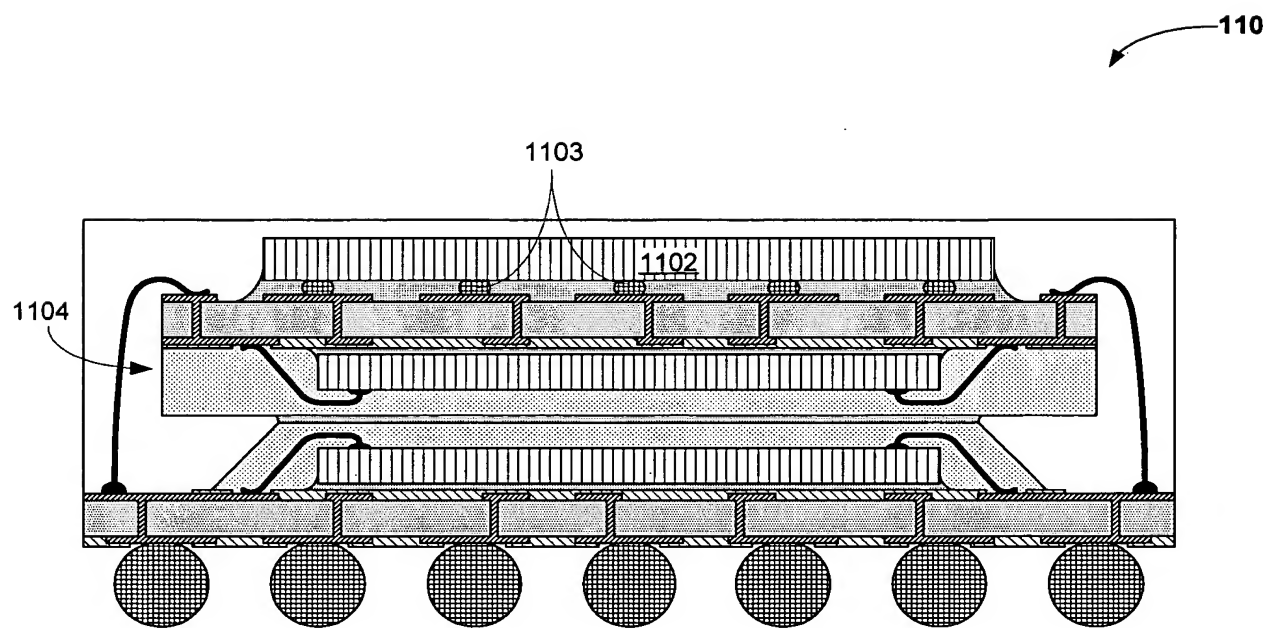


Fig. 11A

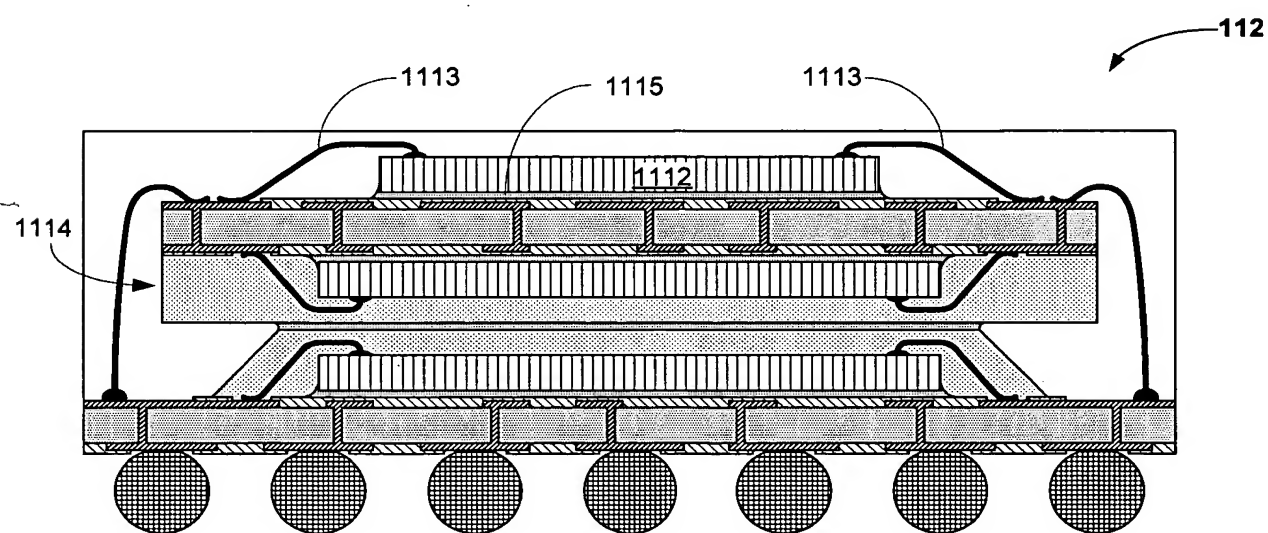


Fig. 11B

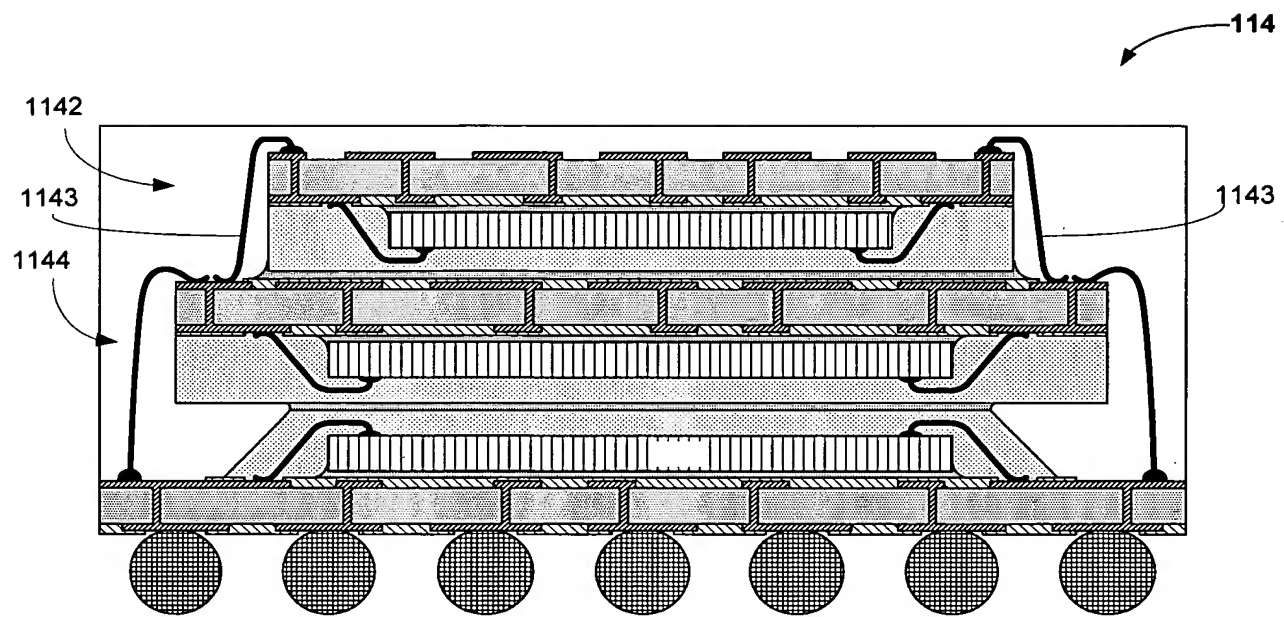


Fig. 11C

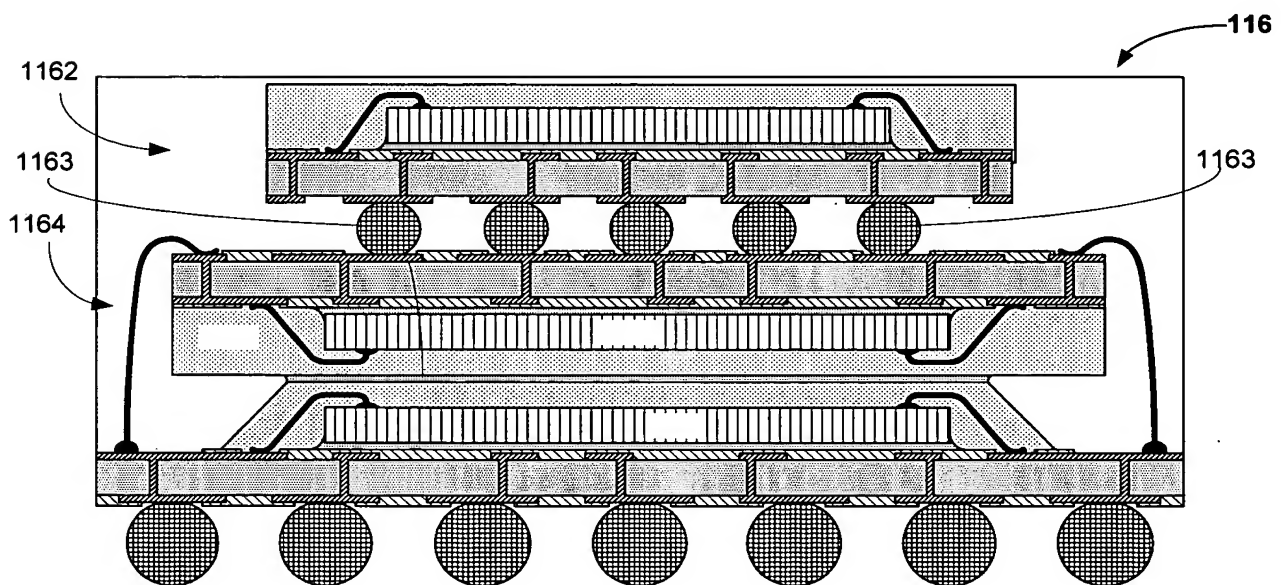


Fig. 11D

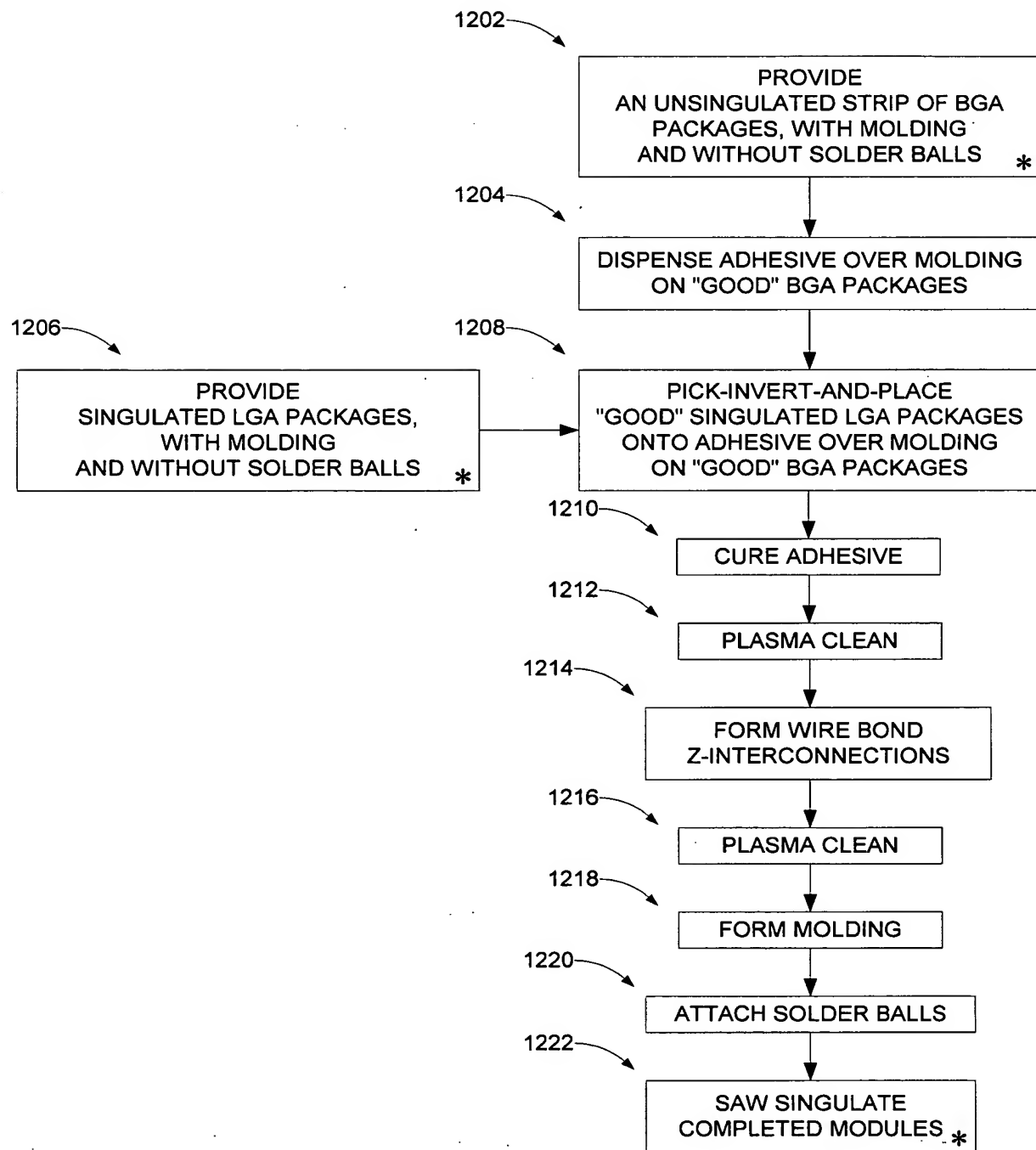


Fig. 12

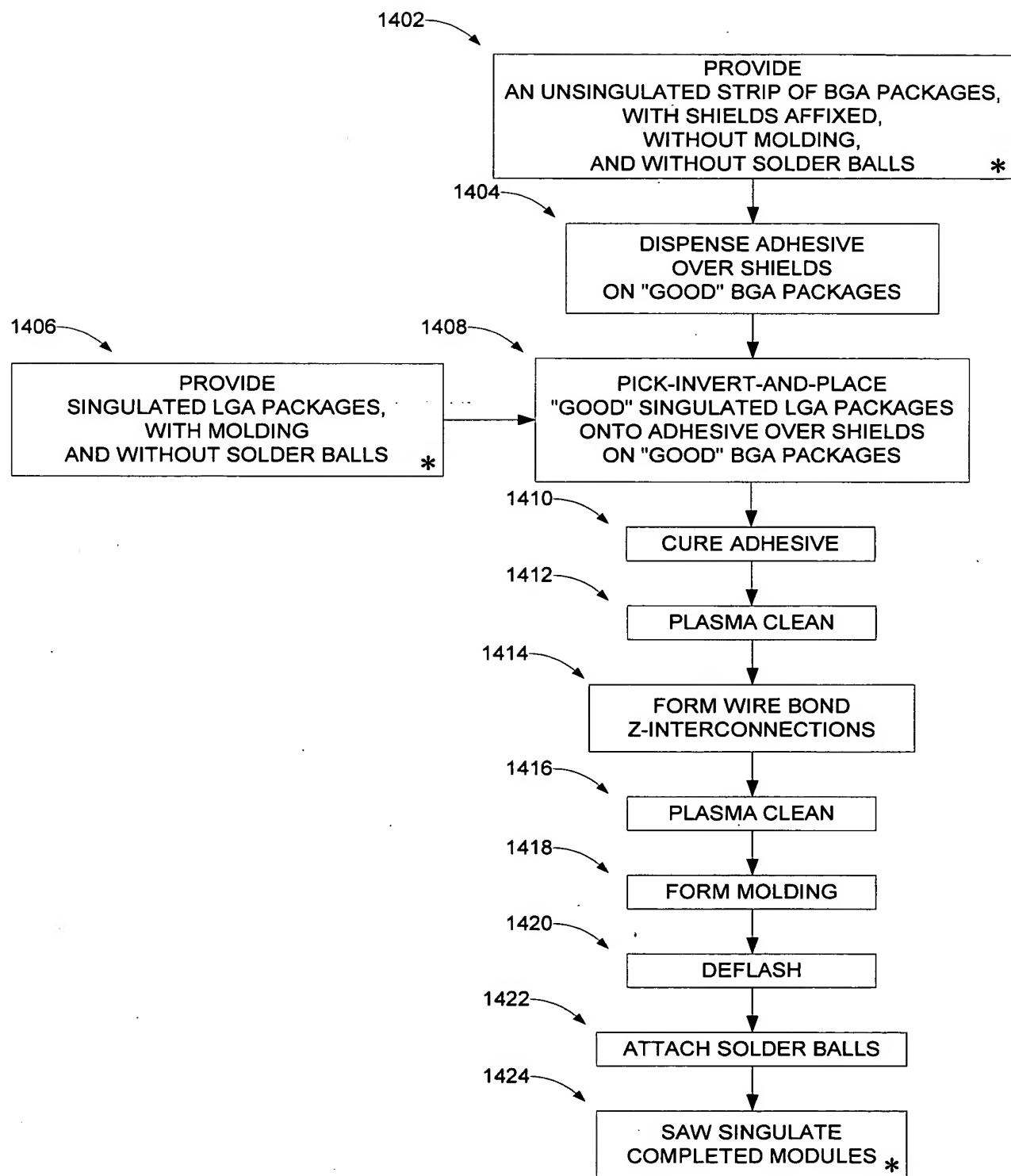


Fig. 13

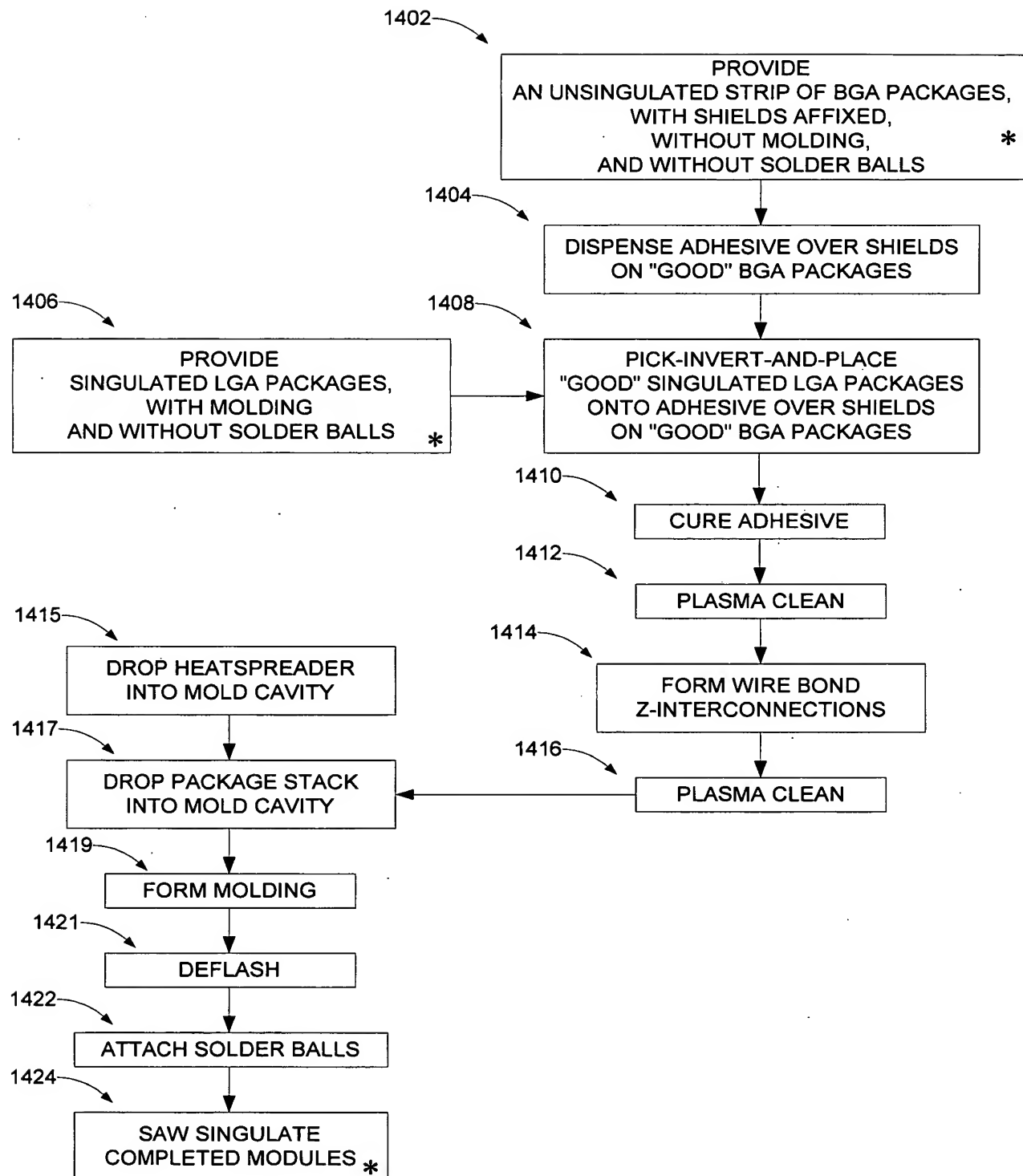


Fig. 14

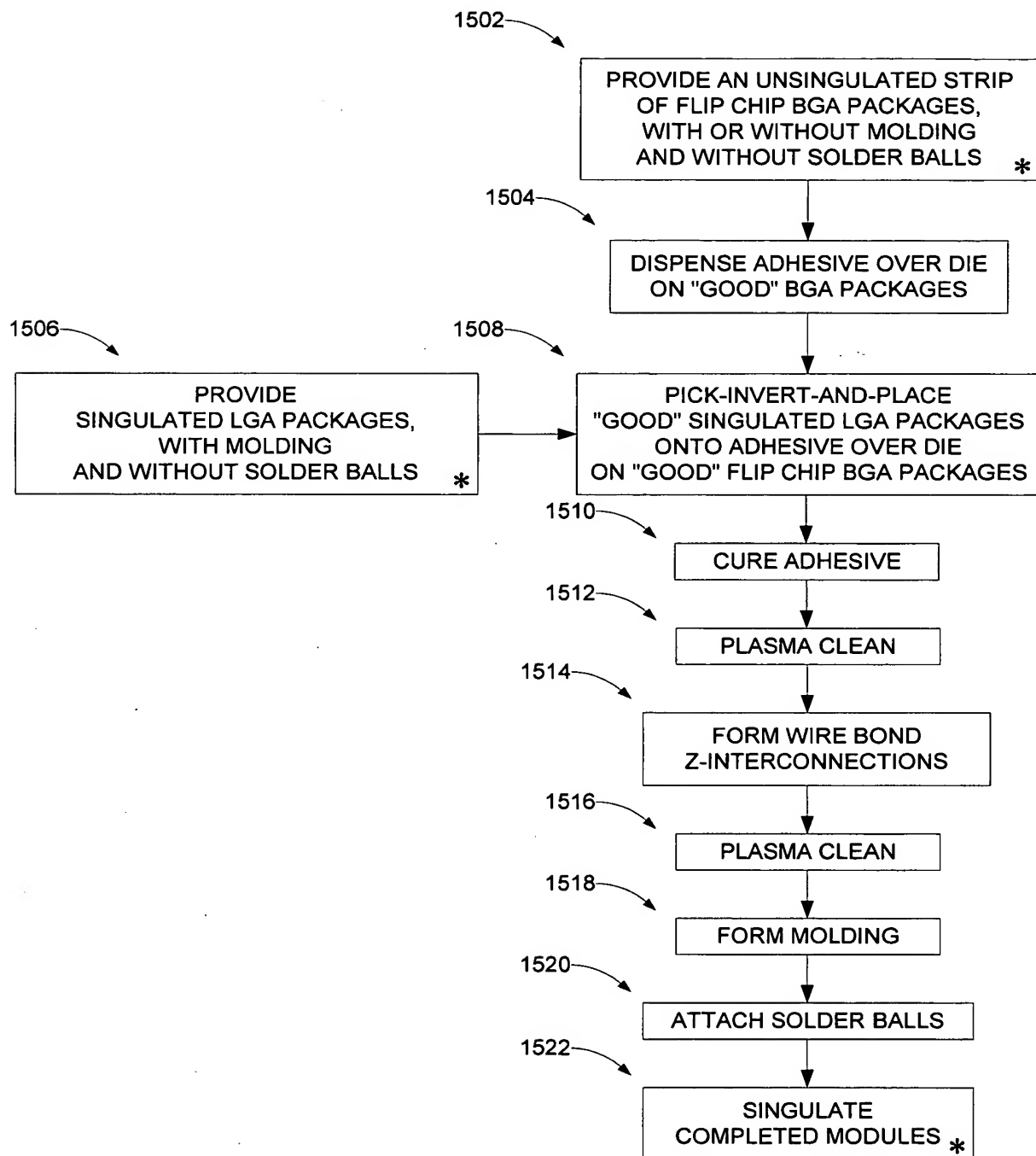


Fig. 15

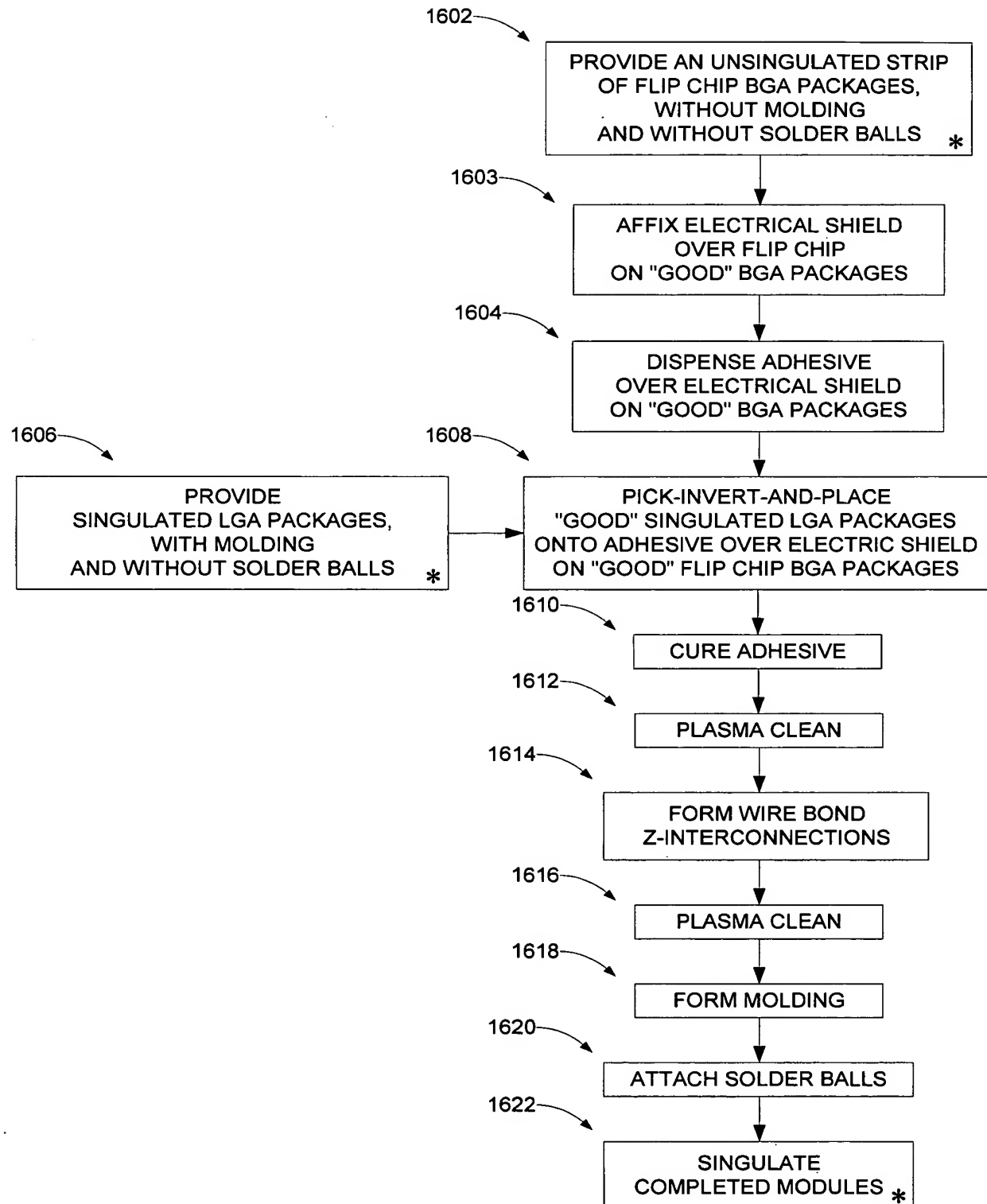


Fig. 16

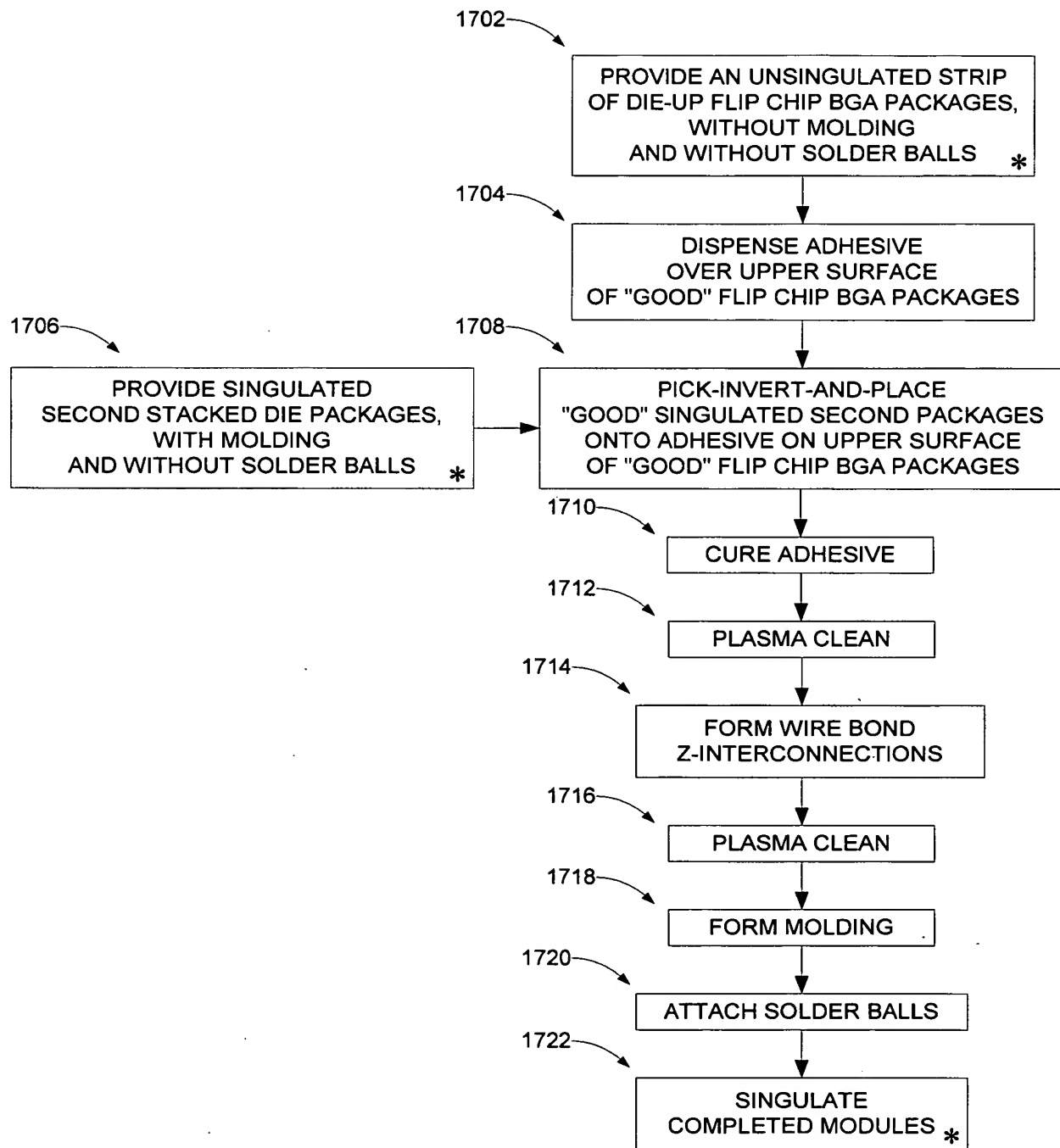


Fig. 17

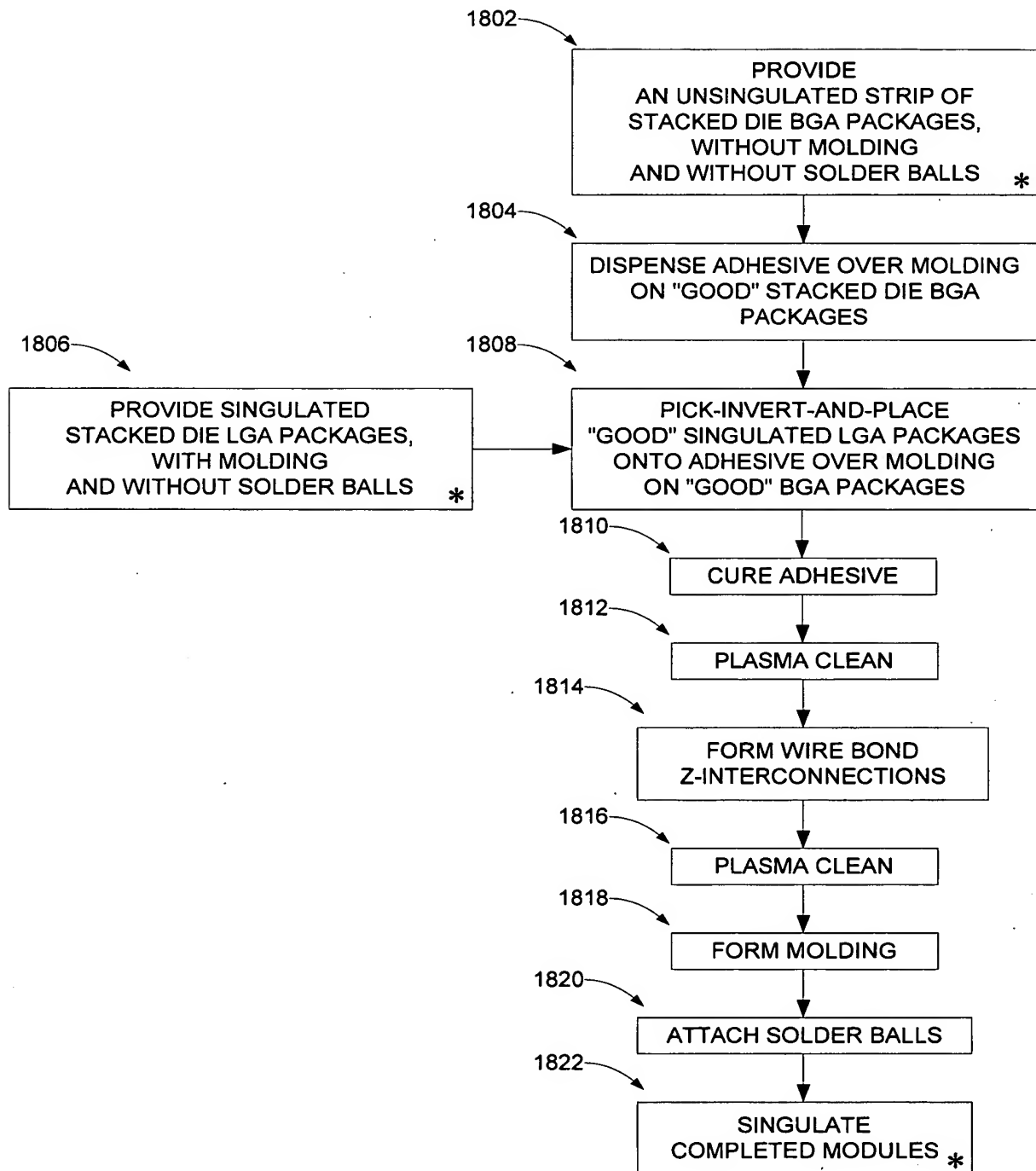


Fig. 18